

第四章 理論基礎

4.1 晶體導電原理

良好的電介質(dielectric)是屬於不導電的絕緣體，原因是因為晶體內部所有的原子都精確的在正確的晶格位置上，所以幾乎沒有導電率。良好的電介質在外加電場的作用下，是一個理想的電容器。但是在真實的世界中，溫度高於絕對零度，造成原子的振動，引響晶格原子偏離本來的位置，形成排列中的缺陷使晶體帶有導電性質。因晶體上的離子運動或電偶極的轉向，將使得電介質呈現導電的性質和介電的性質。以下就電介質的導電和介電性質的成因作討論。

原子在晶格中並非固定不動的，隨著溫度的增加其在晶格上的振動將更為激烈。當離子偏離晶格上的陣列而造成缺陷，在外加電場的作用下，將成為導電性質的成因。就其造成缺陷的來源，一般理論上將其分為內在缺陷和外在缺陷：

(1)內在缺陷(intrinsic defects)：在未加入任何額外的離子時，其原有的離子因為振動、錯位等而造成的缺陷，又稱為本徵缺陷。

1.在 1926 年 J. Frenkel 即指出，在晶體內部當正離子或負離子脫離其晶格點時，形成間隙原子，造成間隙原子和空缺點(vacancy)成對出現，這種形成缺陷就稱為 Frenkel 缺陷。

2.在 1931 年 W. Schottky 提出在晶體表面可產生單一的空缺點(vacancy)，而沒有間隙原子產生，而不是間隙原子和空缺成對存在，脫離的原子跑到晶體表面正常的點位置，當此空缺向內部擴散時，晶體內部只有空缺而無填隙原子，這種缺陷稱為 Schottky 缺陷。

(2)外在缺陷(extrinsic defects)：外來的離子存在晶體內部，而造成的缺陷，又稱為雜質缺陷。

1.置換(substitutional)缺陷：外來的離子取代原有的離子晶格位置，成為代替式的離子。因外層電子數的不同，將可造成額外的電子或是電洞，成為導電性質的成因，又稱為取代式雜質缺陷。

2.填隙缺陷：當外來的離子直徑較其間隙小時，將可擠進其點陣的間隙之中，成為填隙式的離子。因外來離子在間隙中的移動，將成為可導電的離子，這種缺陷取決於原子的體積效應，又稱為間隙式雜質缺陷。

在點缺陷形成後，藉著缺陷原子或離子移動(hopping model)可使導電性質提升，在晶體內部缺陷的移動歷程亦可分為空缺移動機制(vacancy mechanism)和填隙離子移動機制(interstitial mechanism)：

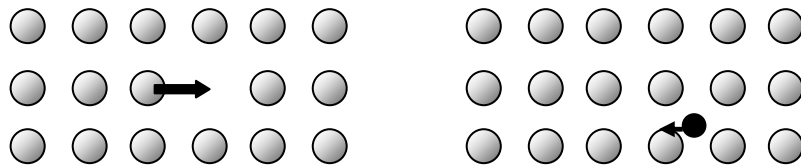


圖 4.1-1 (A)空位歷程

(B)空位與格隙歷程

這些離子在晶格空位或是間隙中移動模型都稱為 hopping model，當離子從晶格中位置跳躍到鄰近的晶格點上時，由於晶格中其它離子和電子雲的作用之下，跳躍過程會遵循最低能量的路徑，也就是必須克服最低的位能障礙 E_a (potential barrier)，才能離開原來的位置到達新的位置，故此能量亦稱為導電活化能或是跳躍活化能(activation energy)。

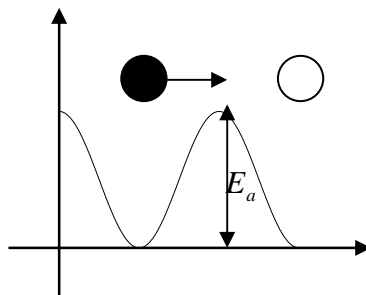


圖 4.1-2 為原子跳躍所需要的活化能。實心為原子，空心為空位

離子晶體在沒有外加電場下，晶格中的跳躍是隨機的，所以淨效應等於零，有外加電場的狀況下，會具有方向性，在描述離子的導電性質時，必須定義導電率 σ (ionic conductivity)：

$$\sigma = N \times q \times \mu$$

其中 N 為單位體積內遷移離子的總數， q 為離子的帶電量， μ (mobility)遷移率為單位電場作用下帶電載子的平均漂移速度。

一、導電率 σ 和溫度 T 的關係，可用 Arrhenius formula 來描述：

$$\sigma T = A \exp\left(-\frac{E}{k_B T}\right)$$

A 為前置因子(pre-exponential factor)， k_B 為波茲曼常數(Boltzmann constant)， E 為導電活化能， T 為絕對溫度。 $(k_B$ 大小為 $8.627 \times 10^{-5} \text{ eV K}^{-1}$)

依照導電成因的不同，受溫度 T 的影響也就有所差別：

1. 外在缺陷 (extrinsic defects)：晶體內外加雜質的缺陷，其離子密度在這溫區中大致維持一常數，所以為溫度較低時主要的導電因素。
2. 內在缺陷 (intrinsic defects)：隨著溫度的升高，Frenkel 缺陷和 Schottky 缺陷的缺陷密度均會增加，故在高溫時內在缺陷的導電因素將不可忽略。

(a) Frenkel defect 關係式：

$$\sigma T = A \exp\left[-\left(E_a + \frac{1}{2}E_f\right)\frac{1}{k_B T}\right] \quad E_f : \text{Frenkel 空位、間隙對生的能量}$$

(b) Schottky defect 關係式：

$$\sigma T = A \exp\left[-\left(E_a + \frac{1}{2}E_s\right)\frac{1}{k_B T}\right] \quad E_s : \text{Schottky 空位生成的能量}$$

綜合外在缺陷和內在缺陷的因素，可將導電活化能 E 改寫成：

$$\sigma T = A \exp\left[-\left(E_a + \frac{1}{2}E_f + \frac{1}{2}E_s\right)\frac{1}{k_B T}\right]$$

E_f 為 Frenkel 缺陷的生成能量； E_s 為 Schottky 缺陷的生成能量。

將 Arrhenius formula 兩邊取對數改寫成：

$$\ln(\sigma T) = \ln A - \left(\frac{E}{1000k_B}\right)\frac{1000}{T}$$

取 $\ln(\sigma T)$ 和 $1000/T$ 作圖所得的直線斜率可求出導電活化能 E ，根據所求得的活化能 E 可能包含 E_s 與 E_f 。

4.2 晶體的介電原理

電介質的介電性質乃是由於在外加電場的作用下，使得晶體內部發生極化的現象，表示此現象的宏觀物理量即是介電係數(dielectric constant)，又稱為電容率。

(1) 電介質極化機制

電介質在外加電場的作用下，所呈現的極化強度和電場強度成正比：

$P = n\alpha E$ (α 為介質的極化率)，其來源可分為三個部分：

1. 電子位移極化：在電場的作用下，原子的電子雲產生了相對位移，形成電偶極矩 $P_e = qd$ (q 為電子的電量； d 為等效中心偏移的距離)。當電場不大時，電偶極矩可視為和電場成正比： $P_e = n\alpha_e E$ ， α_e 為電子極化率。
2. 離子位移極化：晶體中正負離子受電場的影響，所形成的電偶極矩 $P_i = n\alpha_i E$ ， α_i 為離子極化率。
3. 電偶極極化：由於電介質分子本身結構上的不對稱，所具有的電偶極矩 p ，在外加電場的作用下，使得分子成有序的排列；但隨著溫度的提高，分子的熱運動將使得電偶極趨向混亂。根據玻茲曼定律可求得電偶極和溫度的關係為：

$$P_d = \frac{p^2}{3k_B T} E = n\alpha_d E, \text{ 其中 } k_B \text{ 為波茲曼常數, } T \text{ 為絕對溫度。}$$

電介質在外加電場下，所呈現的極化將綜合以上三種結果：總極化率

$$\alpha = \alpha_i + \alpha_e + \alpha_d。$$

晶體內極化是一種弛豫的過程，從一開始的狀態到平衡的狀態要經過一段弛豫時間(relaxation time)，隨著外加電場不斷改變，介質內的電偶極隨著電場變化作偏向的運動。當交變電場的頻率在 10^{10} Hz 以下，這種轉向運動跟得上電場變化速度，介電常數與頻率無關；當交變電場在 10^{12} Hz 以上，偶極矩轉向會跟不上電場的變化而延後，也就是在頻率 $\omega > \omega_0 = 1/\tau$ 時，電偶極是沒有反應。在 $10^{10} \sim 10^{12}$ Hz 的區間內，當交變電場的週期接近或超過分子的弛豫時間常數時，介電常數將迅速降低。上列三種極化（電偶極極化、離子極化、電子極化）發生

在不同的頻率 ω 範圍內。

(2) 靜態介電常數

電介質在外加電場 E 的作用下，產生了極化 P ，使得系統的電位移：

$$D = \epsilon_0 E + P = \epsilon_0 E + \epsilon_0 \chi E = \epsilon_0 (1 + \chi) E = \epsilon_0 \epsilon_r E = \epsilon E$$

以上的式子為國際單位(SI制)。 ϵ_0 為真空電容率(permittivity of free space)，其值為 $8.854 \times 10^{-12} \text{ Fm}^{-1}$ ， χ 為介電極化率(dielectric susceptibility)， ϵ_r 為相對介電常數(relative dielectric constant)。

各向同性介電的極化強度與該點的電場強度成正比，但有些晶體屬於各向異相性，也就是說不同方向的電場產生不同極化效果，一般來說極化強度不再與電場同向，但分量間仍有線性關係，那麼相對介電常數 ϵ_r 不再是純量，而是二階張量 ϵ_{ij} ，與晶體的對稱性有關。

$$D_i = \epsilon_{ij} E_j \quad (i, j=1, 2, 3)$$

依據不同的晶系的對稱性，其介電係數 $[\epsilon_{ij}]$ 如表 4-1。

表 4-1 七大晶系的介電張量 (矩陣形式)

晶系	介電常數矩陣	晶系	介電常數矩陣
立方(cubic) $a_1 = a_2 = a_3$ $\alpha = \beta = \gamma = 90^\circ$	$\begin{bmatrix} \epsilon_{11} & 0 & 0 \\ 0 & \epsilon_{11} & 0 \\ 0 & 0 & \epsilon_{11} \end{bmatrix}$	斜方(orthorhombic) $a_1 \neq a_2 \neq a_3$ $\alpha = \beta = \gamma = 90^\circ$	$\begin{bmatrix} \epsilon_{11} & 0 & 0 \\ 0 & \epsilon_{22} & 0 \\ 0 & 0 & \epsilon_{33} \end{bmatrix}$
三方(trigonal) 四方(tetragonal) 六方(hexagonal) $a_1 = a_2, \alpha = \beta$	$\begin{bmatrix} \epsilon_{11} & 0 & 0 \\ 0 & \epsilon_{11} & 0 \\ 0 & 0 & \epsilon_{33} \end{bmatrix}$	單斜(monoclinic) $a_1 \neq a_2 \neq a_3$ $\alpha = \gamma = 90^\circ \neq \beta$	$\begin{bmatrix} \epsilon_{11} & 0 & \epsilon_{13} \\ 0 & \epsilon_{22} & 0 \\ \epsilon_{13} & 0 & \epsilon_{33} \end{bmatrix}$

極化壓電陶瓷	$\begin{bmatrix} \epsilon_{11} & 0 & 0 \\ 0 & \epsilon_{11} & 0 \\ 0 & 0 & \epsilon_{33} \end{bmatrix}$	三斜(triclinic) $a_1 \neq a_2 \neq a_3$ $\alpha \neq \beta \neq \gamma$	$\begin{bmatrix} \epsilon_{11} & \epsilon_{12} & \epsilon_{13} \\ \epsilon_{21} & \epsilon_{22} & \epsilon_{23} \\ \epsilon_{31} & \epsilon_{32} & \epsilon_{33} \end{bmatrix}$
--------	---	---	---

從上表中得知，立方晶系的矩陣最為簡潔，三個主值相同也就說它的介電性質等同於各向同性電介質；對於三方、四方、六方晶系存在二個主值，通稱為單光軸晶體，一束入射光射入這類晶體被分解成兩道折射光，稱為雙折射；斜方、單斜、三斜晶系，有三個主值，稱為雙軸晶體，其折射情形更為複雜。

(3) 動態介電常數

當電介質在變動的電場中，受電場的影響下，電介質的極化也隨之改變。當電介質的極化改變趕不上電場的變化時，此時即產生極化弛豫現象。由於弛豫現象使動態的介電常數和靜態介電常數不同，且使得系統的電位移和電場的相位存在一個相位差 δ ，對於一般介質， D_m 正比於 E_m ，但彼此為頻率的函數，可表示為：

$$D^*(\omega) = D_m e^{i(\omega t - \delta)} \text{ 和 } E^*(\omega) = E_m e^{i\omega t} \text{ 因此介電常數將為複數 } \epsilon_r^*(\omega), \text{ 利用}$$

$D^* = \epsilon E^*$ ，其定義為：

$$\epsilon_r^*(\omega) = \frac{D^*(\omega)}{\epsilon_o E^*(\omega)} = \frac{D_m e^{i(\omega t - \delta)}}{\epsilon_o E_m e^{i\omega t}} = \frac{D_0}{\epsilon_o E_0} e^{-i\delta} = \epsilon_r' - j\epsilon_r''$$

$$\text{其中：} \epsilon_r'(\omega) = \frac{D_0}{\epsilon_o E_0} \cos \delta$$

$$\epsilon_r''(\omega) = \frac{D_0}{\epsilon_o E_0} \sin \delta$$

$$\tan \delta = \frac{\epsilon_r''}{\epsilon_r'}$$

當 $\omega=0$ 、 $\delta=0$ 時，可得 $\epsilon_r''(0)=0$ 此時 $\epsilon_r^*(0) = \epsilon_r'(0)$ ，故 $\epsilon_r'(0)$ 即是靜態介電常數 ϵ_s 。複數介電常數中的實部 $\epsilon_r'(\omega)$ 是受交變電場影響的介電常數，可視為“依賴頻率的介電常數”；而其虛部 $\epsilon_r''(\omega)$ 則反映出電介質的損耗， δ 可視為損耗角， $\tan \delta$ 稱為介電損耗因子或損耗因數。

動態介電常數分析：

德拜方程式(Debye equation)：

在實際的固態材料中，所具有的弛豫時間大都不是只有一個弛豫時間，並且隨著引起的機制不同，分布在不同的數量級，所以從最簡單的單一個弛豫時間加以討論。考慮只有單一極化過程，Debye 提出電位移 D 的衰減函數，來描述當外電場突然移去時，極化將隨時間衰減；或是突然加入電場，極化隨時間增加而達到平衡，其衰減函數可以表示為：

$$\alpha(t) = \alpha(0) \exp\left(-\frac{t}{\tau}\right)$$

其中 τ 為弛豫時間。配合上式的動態介電常數，可得出 Debye equation：

$$\varepsilon_r^*(\omega) = \varepsilon_r(\infty) + \frac{\varepsilon_r(0) - \varepsilon_r(\infty)}{1 + i\omega\tau}$$

$$\varepsilon_r'(\omega) = \varepsilon_r(\infty) + \frac{\varepsilon_r(0) - \varepsilon_r(\infty)}{1 + \omega^2\tau^2}$$

$$\varepsilon_r''(\omega) = \frac{[\varepsilon_r(0) - \varepsilon_r(\infty)]\omega\tau}{1 + \omega^2\tau^2}$$

$\varepsilon_r(0)$ 為靜態介電常數 (static dielectric constant)，簡化為 ε_s

$\varepsilon_r(\infty)$ 為光頻介電常數 (optical dielectric constant)，簡化為 ε_∞

當 $\omega \ll 1/\tau$ 時即 $\omega \rightarrow 0$ ， $\varepsilon_r(0)$ 趨近於靜態介電常數，當 $\omega \gg 1/\tau$ 即 $\omega \rightarrow \infty$ 時， $\varepsilon_r(\infty)$ 趨近於漁光頻介電常數。

在 1941 年 K. S. Cole & R. H. Cole 提出在複數平面上以 $\varepsilon_r'(\omega)$ 對 $\varepsilon_r''(\omega)$ 作圖，稱之為 Cole-Cole plot。可以從 Cole-Cole plot 所得到圖形判斷，晶體的電介質弛豫行為是屬於單一弛豫時間，還是有數個弛豫時間的分布。

將 Debye equation 消去 $\omega\tau$ 可得半圓方程式：

$$\left(\varepsilon_r' - \frac{\varepsilon_s + \varepsilon_\infty}{2}\right)^2 + \varepsilon_r''^2 = \left(\frac{\varepsilon_s - \varepsilon_\infty}{2}\right)^2$$

隨著頻率 ω 由 0 至 ∞ ，其介電常數的實部對虛部的關係圖 $\varepsilon_r' - \varepsilon_r''$ 在複數平面上得到一個半圓軌跡，其圓心在 $\left(\frac{\varepsilon_s + \varepsilon_\infty}{2}, 0\right)$ 而半徑為 $\frac{\varepsilon_s - \varepsilon_\infty}{2}$ 。此半圓軌跡在實數軸上的交點為：當 $\omega \rightarrow 0$ 時可得 $(\varepsilon_s, 0)$ ，當 $\omega \rightarrow \infty$ 時可得 $(\varepsilon_\infty, 0)$ ，半圓軌

跡最高的地方的點為 $\left(\frac{\epsilon_s + \epsilon_\infty}{2}, \frac{\epsilon_s - \epsilon_\infty}{2}\right)$ ，這時候 $\omega = \frac{1}{\tau}$ ，可以利用最高點對應的

ω 返求出 τ 。

由 Debye equation 中可得而介電常數的實部和虛部的關係為：

$$\epsilon_r' = \frac{\epsilon_r''}{\omega\tau} + \epsilon_\infty$$

故若 ω 為已知，即可由交點的斜率值即為 $1/\omega\tau$ 求得 τ 值。

4.3 實驗儀器原理簡介與電路分析

(1) 實驗儀器原理簡介

實驗使用惠普公司 HP4194 阻抗分析儀(impedance analyzer)來測量在外加不同頻率的交流電場作用下，晶體的阻抗變化，並輔以使用加熱器控制晶體溫度，測量溫度變化與晶體阻抗之間的關係，並利用軟體程式抓取得到的阻抗值，加以轉換求得介電性質的不同參數。

HP4194 是利用自動平衡電橋法(auto balancing bridge method)來測量樣品的阻抗，基本的工作原理如圖 4.3-1。圖中實際通過樣品的電位差，可由高(H)和低(L)兩點間的電壓值獲得。將 L 點經由運算放大器的操作而維持在電位為零，形成一個虛擬接地點。此時輸出的電位差 V_2 便正比於流經樣品的電流 I_2 ，於是樣品的阻抗便可經由下式獲得：

$$Z = \frac{V_1}{I_2} = \frac{V_1 R_2}{V_2}$$

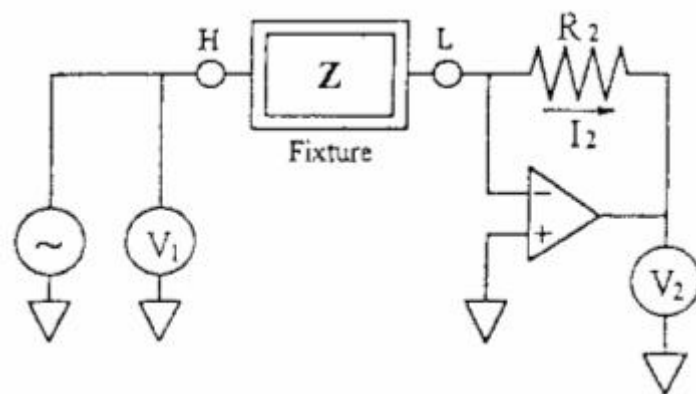


圖 4.3-1 HP4194 阻抗分析儀基本的工作原理簡圖

V_1 、 V_2 的相角由向量比例檢測器(Vector Detector Section)來完成，它是用

來量測橫越樣品及橫越 R_2 的向量電壓，每一個向量電壓可利用相位檢測器，將其分成 0° 和 90° 兩元件來測量。因而阻抗向量的實數和虛數部分，可由阻抗分析儀量測獲得，

$$Z^* = Z' + jZ'' = R + jX$$

其中 R 為電阻(resistance)、 X 為電抗(reactance)，利用下面的公式轉成不同的介電參數來加以分析晶體的介電性質。所以若測得晶體的阻抗值，我們就可以利用下列各式計算出晶體的介電常數(ϵ_r^*)、導電係數(σ^*)和 electric modulus(M^*)的實部和虛部數值，來加以進行分析。

各參數和阻抗的關係轉換

1. 電阻係數(electric resistivity)

$$\rho^* = \frac{Z^* A}{t} = \frac{A}{t} \times (R + jX) = \rho' + j\rho'' \quad (\text{其中 } A: \text{晶體面積 } t: \text{晶體厚度})$$

ϵ_0 : 真空電容率)

$$\implies \rho' = \frac{A}{t} R \quad \& \quad \rho'' = \frac{A}{t} X$$

2. 導電係數(electric conductivity)

$$\sigma^* = \frac{1}{\rho^*} = \frac{t}{Z^* A} = \frac{t}{A} \times \frac{1}{R + jX} = \frac{t}{A} \times \frac{R - jX}{(R^2 + X^2)} = \sigma' - j\sigma''$$

$$\implies \sigma' = \frac{t}{A} \times \frac{R}{(R^2 + X^2)} \quad \sigma'' = \frac{t}{A} \times \frac{X}{(R^2 + X^2)}$$

3. 介電常數(dielectric constant)

$$\epsilon_r^* = \frac{C}{C_0} = \frac{t}{\epsilon_0 A} \times \frac{1}{j\omega Z^*} = \frac{t}{\epsilon_0 A} \times \frac{1}{j\omega(R + jX)} = \frac{t}{\epsilon_0 A} \times \frac{R - jX}{j\omega(R^2 + X^2)} = \epsilon_r' - j\epsilon_r''$$

$$\implies \epsilon_r' = \frac{t}{\epsilon_0 A} \times \frac{-X}{\omega(R^2 + X^2)} \quad \epsilon_r'' = \frac{t}{\epsilon_0 A} \times \frac{R}{\omega(R^2 + X^2)}$$

4. M^* (electric modulus)

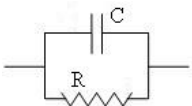
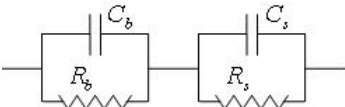
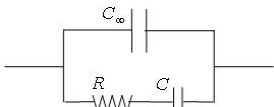
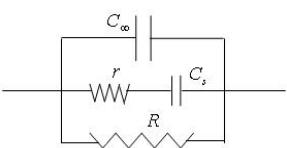
$$M^* = \frac{1}{\epsilon_r^*} = \frac{C_0}{C} = \frac{\epsilon_0 A}{t} \times j\omega Z^* = \frac{\epsilon_0 A}{t} \times j\omega(R + jX) = M' + jM''$$

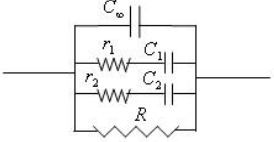
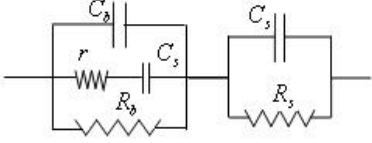
$$\Rightarrow M' = -\frac{\epsilon_0 A}{t} \omega X \quad M'' = \frac{\epsilon_0 A}{t} \omega R$$

(2) 模擬電路與其阻抗分析

在顯示電子電路、元件和元件材料的特色上，阻抗(impedance)是最重要的參數，它可以獲得被研究材料的多種電學訊息。交流電路中對電流限制能力(以同電阻用於直流電路非常相似的方式)的一種度量。定義為電壓除以電流, 用符號 Z 表示, 單位為 Ω (歐姆)。它是一個複數量, 實部等於電阻。阻抗取決於電路元件的電感和電容, 並在向量平面上以複量(complex number)形式表示。在複數平面上以實部 Z' 為橫座標, 虛部的負值為 Z'' 縱座標作圖, 稱為複數阻抗圖譜 (complex impedance spectrum)。然後再對此複數阻抗圖譜進行分析和討論。實際上被研究材料的電學性質常常比較複雜。為了簡化, 我們採用幾種等效電路來進行討論與模擬。

表 4-2 電子元件組合電路及其代表意義

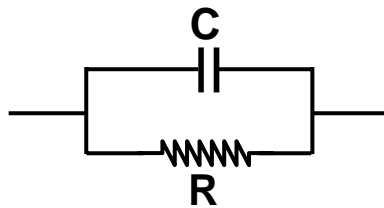
(一)		單一導電弛豫
(二)		單一導電弛豫+電極板效應
(三)		單一介電弛豫
(四)		單一導電弛豫+單一介電弛豫

(五)		單一導電弛豫+二個介電弛豫
(六)		單一導電及介電弛豫+電極板效應

從上表中我們選一些比較簡單常用的模擬線路來加以分析：

1. 單一導電弛豫：

只考慮介電質中離子或點缺陷的移動，產生單一導電弛豫極化弛豫過程，即電介質在外加電流場的作用下，由於能量的耗損，在電路元件上可將之視為 RC 並聯的等效電路，線路如下圖所示：



(A) RC 並聯線路的總組抗值

$$Z^* = \frac{1}{\frac{1}{R} + j\omega C} = \frac{R}{1 + j\omega RC} = \frac{R}{1 + \omega^2 R^2 C^2} - j \frac{\omega R^2 C}{1 + \omega^2 R^2 C^2} = Z' + jZ''$$

$$\Rightarrow \begin{cases} Z' = \frac{R}{1 + \omega^2 R^2 C^2} \\ Z'' = \frac{-\omega R^2 C}{1 + \omega^2 R^2 C^2} \end{cases}$$

a. 複數阻抗頻譜 (complex impedance spectrum)

我們以 RC 並聯電路的實部 Z' 為橫軸和虛部 $-Z''$ 簡化求得兩者的關係式：

$$\left(Z' - \frac{R}{2}\right)^2 + (-Z'')^2 = \left(\frac{R}{1 + \omega^2 R^2 C^2} - \frac{R}{2}\right)^2 + \left(\frac{\omega R^2 C}{1 + \omega^2 R^2 C^2}\right)^2 = \left(\frac{R}{2}\right)^2$$

接著以實部 Z' 為橫軸和虛部 $-Z''$ 為座標軸，在複數平面上做圖，如下圖 4.3-2，根據上式圖形的圖心在 $(R/2, 0)$ ，半徑為 $R/2$ 的半圓。因此若電路為半圓，則可模擬為一個 RC 並聯的電路，而且當頻率 ω 為零時，圖形與實部軸交於 $(R, 0)$ ，由此可求得直流電阻 R_{dc} 。

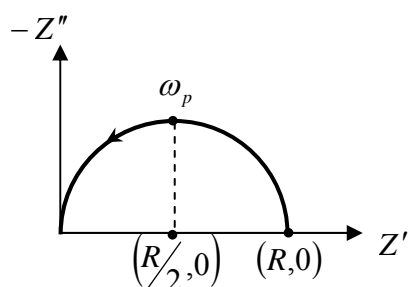


圖 4.3-2 RC 並聯之複數阻抗圖譜

(B) 電阻率

$$\rho^* = \frac{A}{t} Z = \frac{A}{t} (Z' + jZ'') = \rho' + j\rho''$$

由上式可以看出，電阻率 ρ^* 和阻抗 Z^* 只差一個常數，其性質相同，我們習慣用 ρ^* 來分析晶體的阻抗性質。

(C) 導納

$$Y^* = \frac{1}{Z} = Y' + jY'' = \frac{1}{R} + j\omega C$$

(D) 導電率

$$\sigma^* = \frac{1}{\rho^*} = \frac{t}{A} Y^* = \frac{t}{AR} + j \frac{t}{A} \omega C = \sigma' + j\sigma''$$

由上式可以得知導納和導電率只差一個常數 $\frac{t}{A}$ ，可以寫出兩者的關係：

$$Y^* = \frac{1}{R} + j\omega C = \frac{A}{t}\sigma' + j\omega\varepsilon_s\varepsilon_0$$

(其中該物質的靜態介電常數 ε_s ； ε_0 為真空電容率)

比較上面兩式可以得到以下的關係：

a. $\sigma' = \sigma_0 = \frac{t}{AR}$ 為直流導電率，且與頻率 ω 無關。

b. $\sigma'' = \frac{t}{A}\varepsilon_0\varepsilon_s\omega$ ，所以 $\sigma'' \propto \omega$ 。

導電率和頻率關係如下圖 4.3-3：

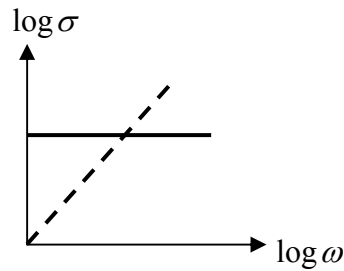


圖 4.3-3 $\log \sigma'$ 對 $\log \omega$ (實線) 及 $\log \sigma''$ 對 $\log \omega$ (虛線) 圖

(E) 相對介電常數

複數相對介電常數與導電率的關係為：

$$\varepsilon_r^* = \frac{\sigma^*}{j\omega\varepsilon_0} = \frac{tC}{A\varepsilon_0} - j\frac{t}{A\varepsilon_0\omega R} = \varepsilon_s - \frac{j\sigma_0}{\omega\varepsilon_0}$$

a. $\varepsilon_r' = \varepsilon_s$ ，其值與 ω 無關。

b. $\varepsilon_r'' = \frac{\sigma_0}{\omega\varepsilon_0} \propto \omega^{-1}$ 。

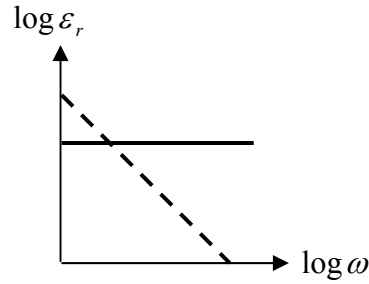


圖 4.3-4 $\log \varepsilon_r'$ 對 $\log \omega$ 圖(實線)和 $\log \varepsilon_r''$ 對 $\log \omega$ 圖(虛線)

(F) M (electric modulus)

$$M^*(\omega) = M' + jM'' = \frac{1}{\varepsilon_r^*} = \frac{1}{\varepsilon_s} \cdot \frac{j\omega\tau_\sigma}{1 + j\omega\tau_\sigma} = M_s \frac{j\omega\tau_\sigma}{1 + j\omega\tau_\sigma}$$

$$\left(\text{其中 } M_s = \frac{1}{\varepsilon_s}, \tau_\sigma = \frac{\varepsilon_0 \varepsilon_s}{\sigma_0} \right)$$

$$\Rightarrow M' = M_s \left[\frac{(\omega\tau_\sigma)^2}{1 + (\omega\tau_\sigma)^2} \right] \quad \& \quad M'' = M_s \left[\frac{\omega\tau_\sigma}{1 + (\omega\tau_\sigma)^2} \right]$$

$\tau_\sigma = \frac{\varepsilon_0 \varepsilon_s}{\sigma_0} = RC$ 定義為導電弛豫時間(conductivity relaxation time)，他決定

了電介質中的電場衰減至零的速率。

將其取低頻與高頻的極限

a. $\lim_{\omega\tau_\sigma \ll 1} M' = 0$ $\lim_{\omega\tau_\sigma \gg 1} M' = M_s = \frac{1}{\varepsilon_s}$

b. $\lim_{\omega\tau_\sigma \ll 1} M'' = \lim_{\omega\tau_\sigma \gg 1} M'' = 0$ ；且在 $\omega\tau_\sigma = 1$ 出現最大值 $\frac{1}{2} M_s$

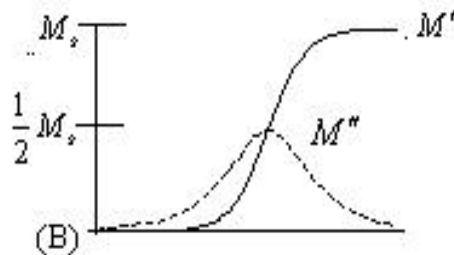
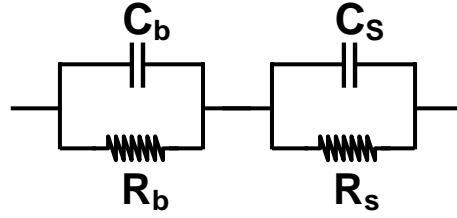


圖 4.3-5 M^* 的實部和虛部對 $\log \omega$ 作圖

2. 單一導電弛豫+電極板效應：兩組 RC 並聯再串聯電路

在考慮電極板效應的情況下，我們使用這個等效電路來模擬。因為我們實際

測量到的阻抗，其實是晶體和電極板兩者的總效應，所以我們以兩組 RC 並聯再串聯的電路來模擬，一組是晶體部分、一組是電極板效應，如下圖：



(A)總組抗

$$Z = \frac{1}{\frac{1}{R_b} + j\omega C_b} + \frac{1}{\frac{1}{R_s} + j\omega C_s} = \frac{R_b}{1 + j\omega R_b C_b} + \frac{R_s}{1 + j\omega R_s C_s} = \frac{R_b + R_s + j\omega R_b R_s (C_b + C_s)}{(1 + j\omega R_b C_b)(1 + j\omega R_s C_s)}$$

$$= \left(\frac{R_b}{1 + \omega^2 R_b^2 C_b^2} + \frac{R_s}{1 + \omega^2 R_s^2 C_s^2} \right) - j \left(\frac{\omega R_b^2 C_b}{1 + \omega^2 R_b^2 C_b^2} + \frac{\omega R_s^2 C_s}{1 + \omega^2 R_s^2 C_s^2} \right)$$

其中 R_b 、 R_s 分別為晶體和電極板的等效電阻，而 C_b 、 C_s 為晶體和電極板的等效電容。此電路複阻抗譜為兩個半圓，高頻部分的半圓代表為晶體效應，低頻部分半圓為電極板所造成，如下圖 4.3-6 所示

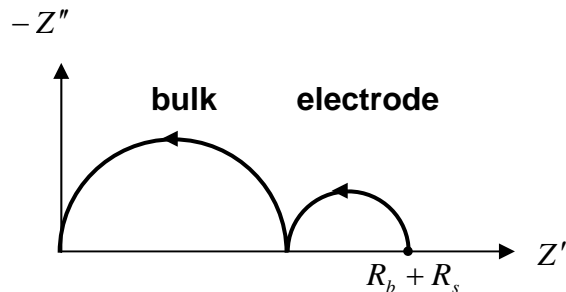


圖 4.3-6 阻抗實部對虛部作圖（箭頭方向表示頻率增加的方向）

(B)導納

$$Y = \frac{1}{Z} = \frac{(1 + j\omega R_b C_b)(1 + j\omega R_s C_s)}{R_b + R_s + j\omega R_b R_s (C_b + C_s)}$$

$$= \frac{R_b + R_s + \omega^2 R_b R_s (R_b C_b^2 + R_s C_s^2)}{(R_b + R_s)^2 + \omega^2 R_b^2 R_s^2 (C_b + C_s)^2} + j\omega \frac{R_b^2 C_b + R_s^2 C_s + \omega^2 R_b^2 R_s^2 C_b C_s (C_b + C_s)}{(R_b + R_s)^2 + \omega^2 R_b^2 R_s^2 (C_b + C_s)^2}$$

其中 R_b 、 R_s 分別為晶體及電極板的電阻， C_b 、 C_s 分別為晶體及電極板的電容。

若將其視為一組 RC 並聯的等效電路，則可以求出線路中 R、C 和原來線路中 R_b 、 R_s 、 C_b 、 C_s 等的關係如下：

$$\left\{ \begin{array}{l} R = \frac{(R_b + R_s)^2 + \omega^2 R_b^2 R_s^2 (C_b + C_s)^2}{R_b + R_s + \omega^2 R_b R_s (R_b C_b^2 + R_s C_s^2)} \\ C = \frac{R_b^2 C_b + R_s^2 C_s + \omega^2 R_b^2 R_s^2 C_b C_s (C_b + C_s)}{(R_b + R_s)^2 + \omega^2 R_b^2 R_s^2 (C_b + C_s)^2} \end{array} \right.$$

一般情形下電極板的電容比晶體電容大的多即 $C_s \gg C_b$ ，再加上考慮在低頻和高頻的情形可以進一步簡化如下：

$$\Rightarrow \lim_{\omega \rightarrow \infty} R \approx R_b \qquad \lim_{\omega \rightarrow \infty} C \approx C_b$$

$$\lim_{\omega \rightarrow 0} R \approx R_b + R_s \qquad \lim_{\omega \rightarrow 0} C \approx C_s$$

由以上關係式可看出，在低頻時測量到的阻抗值主要是電極板效應，所以在這二個半圓中，左邊低頻部份的半圓為電極板效應所造成，而右邊高頻部份的半圓則為介電質的單一導電弛豫所造成，為避免電極板效應，應該取較高頻率部分。因為晶體藉由導電離子的傳導而導電，在外加電場頻率夠低的時後，載電離子會聚集在電極板上，而產生和外加電場方向相反的電極化，使得介電常數增加，這就是所謂的電極板效應。這一部分和溫度的關係較密切，因為溫度提升時，晶體導電性升高，聚集在電極板上的載電離子較多，使得介電常數的急速增加。故推測在高溫低頻所量測到的為電極板效應為主。

(C) 複數相對介電常數：

$$\begin{aligned} \epsilon_r &= \frac{\sigma}{j\omega\epsilon_0} = \frac{t}{A} \cdot \frac{Y}{j\omega\epsilon_0} \\ &= \frac{t}{A\epsilon_0} \left[\frac{R_b^2 C_b + R_s^2 C_s + \omega^2 R_b^2 R_s^2 C_b C_s (C_b + C_s)}{(R_b + R_s)^2 + \omega^2 R_b^2 R_s^2 (C_b + C_s)^2} - j \frac{R_b + R_s + \omega^2 R_b R_s (R_b C_b^2 + R_s C_s^2)}{\omega(R_b + R_s)^2 + \omega^3 R_b^2 R_s^2 (C_b + C_s)^2} \right] \end{aligned}$$

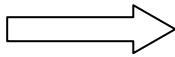
(D) M (electric modulus)

在這個二組 RC 並聯電路串聯的電路中，除了考慮晶體單一導電弛豫外，同時也有電極板效應的干擾，所以我們引進 M (electric modulus) $M^* = \frac{1}{\epsilon_r^*}$

來排除

$$M = \frac{1}{\epsilon_r} = j\omega\epsilon_0\rho = \frac{A}{t} \cdot j\omega\epsilon_0 Z = M' + jM''$$

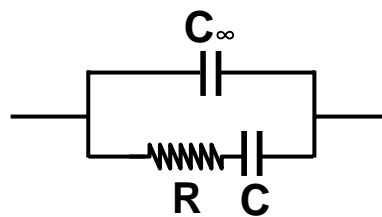
$$M' = \frac{A\epsilon_0}{t} \left[\frac{\omega^2 R_b^2 C_b}{1 + \omega^2 R_b^2 C_b^2} + \frac{\omega^2 R_s^2 C_s}{1 + \omega^2 R_s^2 C_s^2} \right]$$



$$M'' = \frac{A\epsilon_0}{t} \left[\frac{\omega R_b}{1 + \omega^2 R_b^2 C_b^2} + \frac{\omega R_s}{1 + \omega^2 R_s^2 C_s^2} \right]$$

3. 單一介電弛豫：電偶極偏極效應及德拜方程式(Debye equation)

在非電子導體中，必需考慮在介電質中介電常數的損耗因子，即是頻率相關的電偶極偏極效應，這不只包含了介質特性且包含了晶體維度和自然的電極板效應。而單純的 RC 並聯電路中(單一導電弛豫)，導電離子和頻率並沒有關係，為了考慮電偶極偏極效應，我們可以在 RC 並聯電路外多串聯一個電容(C)，這樣的電路元件組成也可等效成一電容(C)與電阻(R)串聯再與另一電容(C_∞)並聯的等效電路，電路圖如下：



(A) 總組抗

$$Z = \frac{1}{\frac{1}{R + \frac{1}{j\omega C}} + j\omega C_\infty}$$

$$= \frac{RC^2}{(C + C_\infty)^2 + \omega^2 R^2 C^2 C_\infty^2} - j \frac{(C + C_\infty + \omega^2 R^2 C^2 C_\infty)}{\omega(C + C_\infty)^2 + \omega^3 R^2 C^2 C_\infty^2}$$

$$Z'(\omega) = \frac{RC^2}{(C + C_\infty)^2 + \omega^2 R^2 C^2 C_\infty} \text{ 和 } -Z''(\omega) = \frac{C + C_\infty + \omega^2 R^2 C^2 C_\infty}{\omega(C + C_\infty)^2 + \omega^3 R^2 C^2 C_\infty}$$

線路複阻抗譜(如圖 4.3-7)

a. 在極低頻 $\omega \rightarrow 0$ 時, 則 $Z' \approx \frac{RC^2}{(C + C_\infty)^2}$ 且 $-Z'' \rightarrow \infty$ 。

b. 在極高頻 $\omega \rightarrow \infty$ 時, 則 $Z' \rightarrow 0$ 且 $-Z'' \rightarrow 0$

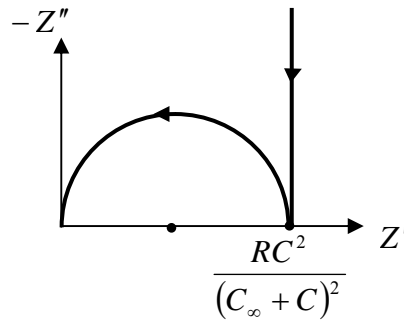


圖 4.3-7 單一介電弛豫複阻抗譜 (箭號方向代表頻率增加)

(B) 導納

該電路的導納(admittance) Y^* 為 $Y = \frac{1}{R + 1/j\omega C} + j\omega C_\infty = \frac{j\omega C}{1 + j\omega RC} + j\omega C_\infty$

(C) 複數相對介電常數：

$$\epsilon_r = \frac{\sigma^*}{j\omega\epsilon_0} = \frac{t}{A} \cdot \frac{Y}{j\omega\epsilon_0} = \frac{t}{A\epsilon_0} \left(C_\infty + \frac{C}{1 + j\omega RC} \right)$$

$$\text{以 } C_\infty = \frac{A}{t} \epsilon_0 \epsilon_\infty$$

$$C = \frac{A}{t} \epsilon_0 (\epsilon_s - \epsilon_\infty)$$

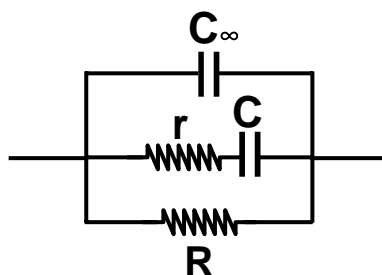
$$\tau = RC \text{ 代入}$$

$$\text{則 Debye equation } \epsilon_r = \left(\epsilon_\infty + \frac{\epsilon_s - \epsilon_\infty}{1 + j\omega\tau} \right)$$

此電路圖為只考慮單一介電弛豫時間的德拜方程(Debye equation)之等效電路圖, 其介電常數在複數平面作圖為半圓形, 稱之所謂的 Cole-Cole plot。

4. 單一導電弛豫加單一介電弛豫：

一般而言，物質應同時存在與外加電場頻率無關的導電弛豫、及與外加電場有關的介電弛豫，只是它們分佈在不同頻率範圍(導電弛豫在比較低頻的範圍)，若我們只考慮電介質中具有單一導電弛豫及單一介電弛豫，我們可以在原本代表單一導電弛豫的 RC 並聯電路上，多並聯一個 R-C 串聯電路，以代表單一介電弛豫，電路圖如下：



(A) 總阻抗

$$Z = \frac{1}{\frac{1}{r + \frac{1}{j\omega C}} + \frac{1}{R} + j\omega C_\infty}$$

$$= \frac{R[1 + \omega^2 r(R+r)C^2]}{(1 - \omega^2 rRC C_\infty)^2 + \omega^2(rC + RC + RC_\infty)^2} - j \frac{\omega R^2(C + C_\infty + \omega^2 r^2 C^2 C_\infty)}{(1 - \omega^2 rRC C_\infty)^2 + \omega^2(rC + RC + RC_\infty)^2}$$

(B) 導納

$$Y = \frac{1}{r + \frac{1}{j\omega C}} + \frac{1}{R} + j\omega C_\infty = \frac{1}{R} + \frac{\omega^2 r C^2}{1 + \omega^2 r^2 C^2} + j\omega \left[C_\infty + \frac{C}{1 + \omega^2 r^2 C^2} \right]$$

(C) 複數相對介電常數

$$\varepsilon_r = \frac{t}{A} \cdot \frac{Y}{j\omega \varepsilon_0} = \frac{t}{A \varepsilon_0} \left[C_\infty + \frac{C}{1 + \omega^2 r^2 C^2} \right] - j \frac{t}{A \omega \varepsilon_0} \left[\frac{1}{R} + \frac{\omega^2 r C^2}{1 + \omega^2 r^2 C^2} \right]$$

$$\left\{ \begin{array}{l} \varepsilon'_r = \frac{t}{A\varepsilon_0} \left(C_\infty + \frac{C}{1 + \omega^2 r^2 C^2} \right) = \varepsilon'_{ion} + \varepsilon'_{dipole} \\ \varepsilon''_r = \frac{t}{A\varepsilon_0} \left(\frac{1}{R\omega} + \frac{\omega r C^2}{1 + \omega^2 r^2 C^2} \right) = \varepsilon''_{ion} + \varepsilon''_{dipole} \end{array} \right.$$

a. 當 $\omega \rightarrow 0$ 時， $\varepsilon'_r \approx \frac{t}{A\varepsilon_0} (C_\infty + C) = \varepsilon_s$

b. 當 $\omega \rightarrow \infty$ 時， $\varepsilon'_r \approx \frac{t}{A\varepsilon_0} C_\infty = \varepsilon_\infty$ 且 $\varepsilon''_r = 0$ 。

(D)M (Electrical modulus)

$$\begin{aligned} M &= \frac{1}{\varepsilon_r} = \frac{A}{t} \cdot j\omega\varepsilon_0 Z \\ &= \frac{A\varepsilon_0}{t} \frac{\omega^2 R^2 (C + C_\infty + \omega^2 r^2 C^2 C_\infty)}{(1 - \omega^2 r R C C_\infty)^2 + \omega^2 (rC + RC + RC_\infty)^2} \\ &\quad + j \frac{A\varepsilon_0}{t} \frac{\omega R [1 + \omega^2 r (R+r) C^2]}{(1 - \omega^2 r R C C_\infty)^2 + \omega^2 (rC + RC + RC_\infty)^2} \end{aligned}$$

此時物質的介電和導電率性質跟外加電場頻率有關。若物質的介電和導電率性質跟外加電場頻率無關時，則物質的介電值 $\varepsilon_r^* = \varepsilon_s$ ，導電率為 σ ，形成一簡單的 RC 並聯電路。而通常導電弛豫時間遠大於介電弛豫時間，所以導電弛豫通常在較低頻即可被觀察到，而介電為在較高頻的地方才可觀察到有介電損耗(圖 4.3-8)。

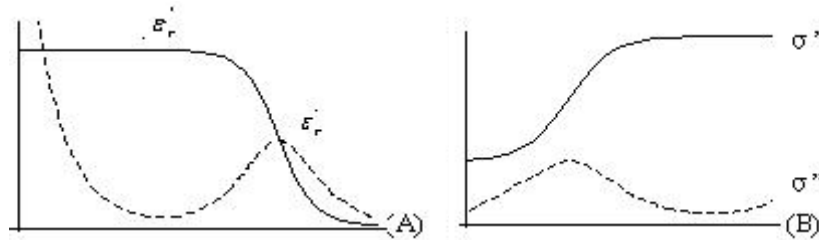


圖 4.3-8 (A)介電常數 $\log \varepsilon'$ & $\log \varepsilon''$ 對 $\log f$; (B)導電係數對 $\log f$ 作圖

表 4-3 等效電路元件跟模擬的結果 [16]

